

МОДЕЛИРОВАНИЕ ТРЕХМЕРНОЙ КОНВЕКЦИИ В МАНТИИ ЗЕМЛИ С ПРИМЕНЕНИЕМ НЕЯВНОГО МЕТОДА РАСЩЕПЛЕНИЯ ПО ФИЗИЧЕСКИМ ПРОЦЕССАМ

В. В. ЧЕРВОВ

Институт геологии и минералогии СО РАН, Новосибирск, Россия

e-mail: chervov@ist.nsc.ru

Based on the method of implicit splitting over the physical processes a numerical model of 3-D convection in the Earth mantle has been constructed. The results of some numerical experiments are presented.

Введение

Исследование конвекции в недрах Земли является одной из центральных задач геофизики. Работы в этом направлении, выполненные в последние годы (см., например, [1, 2, 3, 4, 5, 6, 7, 8, 9, 10]), значительно расширили наши представления о строении и составе недр. С развитием возможностей вычислительной техники в 90-х годах стали появляться трехмерные математические модели тепловой конвекции [10, 11, 12, 13, 14, 15, 16, 17, 18, 19, 20, 21, 22, 23]. Так, можно выделить работы В.П. Трубицына с соавторами [10, 14, 15, 16], охватывающие широкий класс прикладных проблем геотектоники. При решении трехмерных задач гидродинамики используется целый ряд подходов, основанных на применении как уравнений в естественных переменных, так и в векторных переменных ψ , ω и V , ω [24, 25, 26, 27, 28, 29, 30].

Подобные подходы могут быть обобщены и на случай задач конвекции. Подход с использованием трехмерных векторов завихренности и потенциала успешно применен, в частности, в работе [24], где с применением уравнений Навье — Стокса в приближении Обербека — Буссинеска рассматривалось течение, вызванное градиентами температуры и концентрации в поле силы тяжести в прямоугольном параллелепипеде. Для решения применялись разнесенные сетки с размещением физических величин в различных местах вычислительной ячейки, что позволило обеспечить консервативность для завихренности на дискретном уровне.

В работе [17] приведены тесты трехмерной конвекции, представленные данные получены в результате применения различных методов. В частности, Кристенсен (Christensen) применил гибридный спектрально-конечно-разностный метод и использовал скалярный потенциал для описания течения; Огава (Ogawa) применил конечно-разностный метод для переменных скорость — давление; температура вычислялась неявным конечно-разностным

методом. Результаты трехмерного тестирования в переменных ψ , ω можно найти в работах [18, 19, 20, 21, 22, 23]. Однако постановка граничных условий в переменных ψ , ω для задач, связанных с движением вещества через границы (например, для задачи протекания) сопряжена со значительными трудностями, преодолевая которые приходится отказываться от тождественного соблюдения уравнения неразрывности [27, 28, 29, 30, 31], что сводит на нет преимущества такого подхода.

Выходом из ситуации может быть применение естественных переменных, но с требованием соблюдения закона неразрывности либо тождественного, либо настолько точного, насколько позволяют ошибки применяемых аппроксимаций для входящих уравнений. Несмотря на то что естественные переменные достаточно широко используются в практике расчетов конвективных течений в мантии Земли, в известных автору работах отсутствует детальный численный экспериментальный анализ сходимости численных моделей, в частности, нет результатов сопоставления с хорошо известным международным тестом [17].

Весьма популярным является в настоящее время метод расщепления по физическим процессам [25, 26, 27, 28, 29].

В настоящей работе продолжено тестирование задачи конвекции, предложенной авторами статьи [17]. В работах [18, 19, 20, 21, 22, 23] с использованием подхода в переменных вектор завихренности — векторный потенциал продемонстрировано хорошее согласие с тестами в [17]. С применением метода расщепления по физическим процессам получены результаты, не уступающие по точности найденным ранее с применением ψ , ω -подхода. Решена модельная задача протекания мантийного вещества через вертикальные границы.

1. Математическая постановка задачи

Для описания течений в верхней мантии Земли привлекается хорошо известная математическая модель, включающая в себя обезразмеренные уравнения [5]:

$$\begin{aligned}\nabla \mathbf{V} &= 0, \\ \nabla p &= \mathbf{F} + \text{Ra}T\mathbf{g}, \\ \frac{\partial T}{\partial t} + \mathbf{V}\nabla T &= \nabla^2 T.\end{aligned}$$

Здесь p — давление; T — температура; t — время; $\text{Ra} = \frac{\alpha\rho g_z d^3 \Delta T}{\eta_0 \chi}$ — число Рэлея; \mathbf{V} — вектор скорости; $\mathbf{g} = (0, 0, -g_z)$, g_z — ускорение силы тяжести; d — вертикальный размер конвектирующей области; $\Delta T = T_{\max} - T_{\min}$; χ — температуропроводность; α — коэффициент теплового расширения; ρ , η — характерные плотность и динамическая вязкость; \mathbf{F} — вектор скорости:

$$\begin{aligned}F_x &= 2\frac{\partial}{\partial x}\eta\frac{\partial u}{\partial x} + \frac{\partial}{\partial y}\eta\left(\frac{\partial u}{\partial y} + \frac{\partial v}{\partial x}\right) + \frac{\partial}{\partial z}\eta\left(\frac{\partial u}{\partial z} + \frac{\partial w}{\partial x}\right), \\ F_y &= \frac{\partial}{\partial x}\eta\left(\frac{\partial u}{\partial y} + \frac{\partial v}{\partial x}\right) + 2\frac{\partial}{\partial y}\eta\frac{\partial v}{\partial y} + \frac{\partial}{\partial z}\eta\left(\frac{\partial v}{\partial z} + \frac{\partial w}{\partial y}\right), \\ F_z &= \frac{\partial}{\partial x}\eta\left(\frac{\partial u}{\partial z} + \frac{\partial w}{\partial x}\right) + \frac{\partial}{\partial y}\eta\left(\frac{\partial v}{\partial z} + \frac{\partial w}{\partial y}\right) + 2\frac{\partial}{\partial z}\eta\frac{\partial w}{\partial z},\end{aligned}$$

где u , v , w — компоненты вектора скорости.

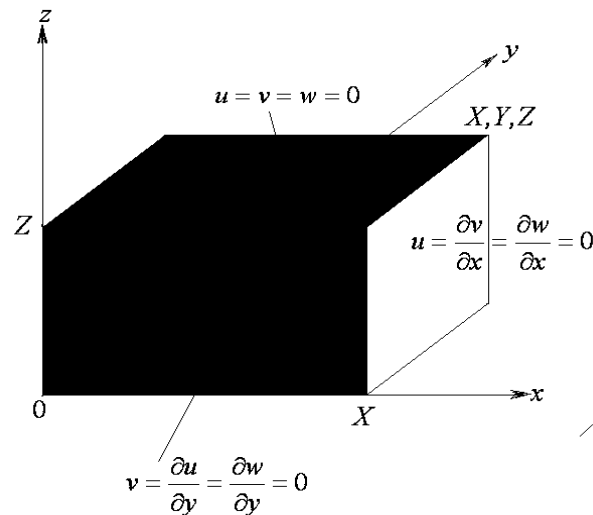


Рис. 1. Граничные условия для вектора скорости в параллелепипеде: на вертикальных гранях — условия проскальзывания, на горизонтальных плоскостях — условия прилипания.

Система уравнений устроена так, что в начальный момент времени $t = \tau_0$ задаются начальные условия лишь для температуры: $T(x, y, z, \tau_0) = T_0(x, y, z)$ [32]. Простейшей областью интегрирования является параллелепипед (рис. 1).

Для вектора скорости на боковых границах задаются условия проскальзывания, а на нижней и верхней гранях — условия прилипания:

— на поверхностях $x = 0$, $x = X$ ($0 \leq y \leq Y$, $0 \leq z \leq 1$):

$$u = \frac{\partial v}{\partial x} = \frac{\partial w}{\partial x} = 0;$$

— на поверхностях $y = 0$, $y = Y$ ($0 \leq x \leq X$, $0 \leq z \leq 1$):

$$v = \frac{\partial u}{\partial y} = \frac{\partial w}{\partial y} = 0;$$

— на поверхностях $z = 0$, $z = 1$ ($0 \leq x \leq X$, $0 \leq y \leq Y$):

$$u = v = w = 0.$$

Для температуры, как и в [17], на боковых гранях ставятся условия теплоизоляции (адиабатическая стенка), т. е. первые производные на вертикальных стенках равны нулю. На верхней и нижней гранях ставятся условия Дирихле: нулевая температура на верхней и некоторая фиксированная температура (в безразмерных уравнениях равная единице) на нижней:

— на поверхностях $x = 0$, $x = X$ ($0 \leq y \leq Y$, $0 \leq z \leq 1$): $\frac{\partial T}{\partial x} = 0$;

— на поверхностях $y = 0$, $y = Y$ ($0 \leq x \leq X$, $0 \leq z \leq 1$): $\frac{\partial T}{\partial y} = 0$;

— на поверхности $z = 0$ ($0 \leq x \leq X$, $0 \leq y \leq Y$): $T = 0$;

— на поверхности $z = 1$ ($0 \leq x \leq X$, $0 \leq y \leq Y$): $T = 1$.

Численная модель трехмерных течений в естественных переменных

Для построения численной модели в случае естественных переменных применялся метод установления с использованием неявной схемы расщепления по физическим процессам [25, 26, 27, 28] и метода дробных шагов [33]:

$$\frac{\tilde{\mathbf{V}} - \mathbf{V}^n}{\tau} = \tilde{\mathbf{F}} - \nabla p^n + \text{Ra} T^n \mathbf{g}; \quad (1)$$

$$\nabla^2 (\delta p) = \frac{\nabla \tilde{\mathbf{V}}}{\tau}, \quad (2)$$

где $\delta p = p^{n+1} - p^n$;

$$\frac{\mathbf{V}^{n+1} - \tilde{\mathbf{V}}}{\tau} = -\nabla (\delta p); \quad (3)$$

$$\frac{\partial T}{\partial t} + \nabla (\mathbf{V}^{n+1} T) = \nabla^2 T. \quad (4)$$

Численная реализация (1)–(4) включает в себя следующие этапы.

1. В исследуемой области задается начальное распределение температуры, удовлетворяющее граничным условиям. Компоненты скорости полагаются нулевыми.

2. Из векторного уравнения (1) находится промежуточное поле скорости $\tilde{\mathbf{V}}$.

3. Рассчитываются поле разности давлений и давление по (2).

4. Из (3) получается окончательное поле скорости.

5. Путем решения (4) вычисляется поле температуры.

Процесс повторяется до некоторого значения $t = n\tau$.

В задаче использовалась разнесенная сетка, в которой давление, вязкость и температура определялись в центре элементарного объема, компоненты вектора скорости — в центрах плоскостей ячеек: u — в центре плоскости YZ , v — в центре плоскости XZ , w — в центре плоскости XY . В декартовой системе координат равномерную сетку можно задать в виде

$$\Omega = \begin{cases} x_I = (I - 1/2)\Delta x, & \Delta x > 0, & I = 0, 1, \dots, M, & (M - 1)\Delta x = X, \\ y_J = (J - 1/2)\Delta y, & \Delta y > 0, & J = 0, 1, \dots, N, & (N - 1)\Delta y = Y, \\ z_K = (K - 1/2)\Delta z, & \Delta z > 0, & K = 0, 1, \dots, L, & (L - 1)\Delta z = Z, \end{cases} \quad (5)$$

где Δx , Δy , Δz — размеры шагов сетки; M, N, L — число ячеек сетки в направлениях x , y и z .

Для реализации (1) использовалась схема стабилизирующей поправки. Для вектора скорости на примере x -компоненты u -схема выглядит так:

$$\begin{aligned} \frac{\tilde{u}^{n+1/3} - u^n}{\tau} &= L_{11}\tilde{u}^{n+1/3} + L_{22}u^n + L_{33}u^n + L_{21}v^n + L_{31}w^n - L_1 p^n, \\ \frac{\tilde{u}^{n+2/3} - \tilde{u}^{n+1/3}}{\tau} &= L_{22}(\tilde{u}^{n+2/3} - u^n), \\ \frac{\tilde{u}^{n+1} - \tilde{u}^{n+2/3}}{\tau} &= L_{22}(\tilde{u}^{n+1} - u^n). \end{aligned} \quad (6)$$

Здесь использованы стандартные аппроксимации [36]:

$$L_{11} \sim 2 \frac{\partial}{\partial x} \eta \frac{\partial}{\partial x}, \quad L_{22} \sim \frac{\partial}{\partial y} \eta \frac{\partial}{\partial y}, \quad L_{33} \sim \frac{\partial}{\partial z} \eta \frac{\partial}{\partial z},$$

$$L_{21} \sim \frac{\partial}{\partial y} \eta \frac{\partial}{\partial x}, \quad L_{31} \sim \frac{\partial}{\partial z} \eta \frac{\partial}{\partial x}, \quad L_1 \sim \frac{\partial}{\partial x}.$$

Для v и w конечно-разностное представление аналогично (6).

Для наглядности численной схемы в работе применены индексы, удобные для последующего переноса в компьютерную программу. В центре элементарного объема, где определяются скалярные поля температуры T , вязкости η и давления p , индексы — прописные латинские буквы: I, J, K . На гранях — индексы i, j, k (рис. 2). Таким образом, между I и $I + 1$ находится индекс $i + 1$, между j и $j + 1$ находится индекс J , а между $K - 1$ и K — индекс k . Например, вместо общепринятой записи $u_{i+\frac{1}{2},j,k-1}$ становится удобной запись $u_{i+1,J,K-1}$, так как в общепринятой записи точка i, j, k находится в центре ячейки (рис. 3).

Граничные условия для вычислений разности давлений являются следствием условий для уравнения (9). Так как граничные условия для \mathbf{V}^{n+1} и $\tilde{\mathbf{V}}$ совпадают, решается задача Неймана с однородными граничными условиями. Метод решения задачи Неймана основан

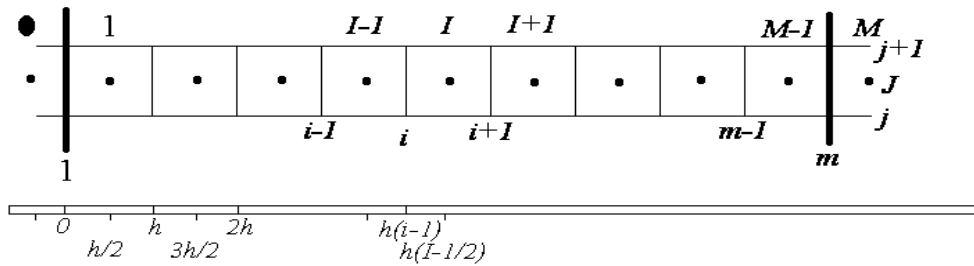


Рис. 2. Местонахождение индексов по направлению X . В нижней части рисунка — шкала расстояний.

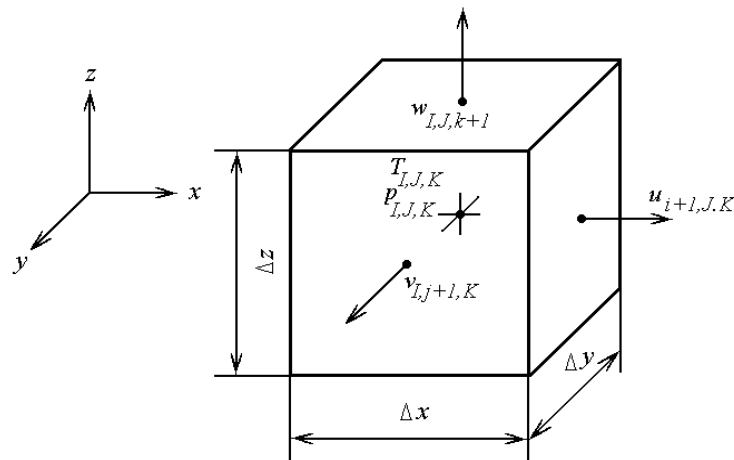


Рис. 3. Сеточный шаблон для метода расщепления. В центре ячейки, кроме давления и температуры, вычисляется и вязкость $\eta_{I,J,K}$.

на приеме, предложенном в книге [34]:

$$G_{I,J,K} = G_{I,J,K}^{s+1} - \frac{\sum_{\Omega} G_{I,J,K}^{s+1}}{MNL},$$

где Ω — область определения индексов; $G = \delta p$ — разность давлений; s — индекс внутренних итераций; G^{s+1} — промежуточное значение разности давлений; произведение MNL — количество ячеек в области.

Численная реализация (3) выполнялась следующим образом:

$$\begin{aligned} u_{i,J,K}^{n+1} &= \tilde{u}_{i,J,K}^{n+1} - \tau \frac{G_{I,J,K}^i - G_{I-1,J,K}}{h_x}, \\ v_{I,j,K}^{n+1} &= \tilde{v}_{I,j,K}^{n+1} - \tau \frac{G_{I,J,K}^j - G_{I,J-1,K}}{h_y}, \\ w_{I,J,k}^{n+1} &= \tilde{w}_{I,J,k}^{n+1} - \tau \frac{G_{I,J,K}^k - G_{I,J,K-1}}{h_z}. \end{aligned}$$

Индексы над знаком “минус” в формулах демонстрируют связь “больших” и “малых” индексов.

После вычислений скорости следует расчет температуры либо по схеме стабилизирующей поправки, либо по схеме предиктор-корректор, основанной на схеме стабилизирующей поправки:

$$\begin{aligned} \frac{T^{n+1/6} - T^n}{\tau} &= \Lambda_{11} T^{n+1/6} + \Lambda_{22} T^n + \Lambda_{33} T^n, \\ \frac{T^{n+2/6} - T^{n+1/6}}{\tau} &= \Lambda_{22} (T^{n+2/6} - T^n), \\ \frac{T^{n+3/6} - T^{n+2/6}}{\tau} &= \Lambda_{33} (T^{n+3/6} - T^n), \\ \frac{T^{n+1} - T^n}{\tau} &= \Lambda_{11} T^{n+1/6} + \Lambda_{22} T^{n+2/6} + \Lambda_{33} T^{n+3/6}. \end{aligned}$$

Здесь

$$\Lambda_{11} T \sim \frac{\partial^2 T}{\partial x^2} - \frac{\partial}{\partial x} (u^n T); \quad \Lambda_{22} T \sim \frac{\partial^2 T}{\partial y^2} - \frac{\partial}{\partial y} (v^n T); \quad \Lambda_{33} T \sim \frac{\partial^2 T}{\partial z^2} - \frac{\partial}{\partial z} (w^n T).$$

Численная реализация вычислений температуры осуществлялась так:

$$\begin{aligned} &T_{I,J,K}^{n+1/3} + \frac{\tau_t}{h_x} \left(u_{i+1,J,K} T_{i+1,J,K}^{n+1/3} - u_{i,J,K} T_{i,J,K}^{n+1/3} \right) - \frac{\tau_t}{h_x^2} (T_{I+1,J,K}^{n+1/3} - 2T_{I,J,K}^{n+1/3} + T_{I-1,J,K}^{n+1/3}) = \\ &= T_{I,J,K}^n - \frac{\tau_t}{h_y} (v_{I,j+1,K} T_{I,j+1,K}^n - v_{I,j,K} T_{I,j,K}^n) + \frac{\tau_t}{h_y^2} (T_{I,J+1,K}^n - 2T_{I,J,K}^n + T_{I,J-1,K}^n) - \\ &- \frac{\tau_t}{h_z} (w_{I,J,k+1} T_{I,J,k+1}^n - w_{I,J,k} T_{I,J,k}^n) + \frac{\tau_t}{h_z^2} (T_{I,J,K+1}^n - 2T_{I,J,K}^n + T_{I,J,K-1}^n), \end{aligned}$$

$$\begin{aligned}
 & T_{I,J,K}^{n+2/3} + \frac{\tau_t}{h_y} \left(v_{I,j+1,K} T_{I,j+1,K}^{n+2/3} - v_{I,j,K} T_{I,j,K}^{n+2/3} \right) - \frac{\tau_t}{h_y^2} (T_{I,J+1,K}^{n+2/3} - 2T_{I,J,K}^{n+2/3} + T_{I,J-1,K}^{n+2/3}) = \\
 & = T_{I,J,K}^{n+1/3} + \frac{\tau_t}{h_y} \left(v_{I,j+1,K} T_{I,j+1,K}^n - v_{I,j,K} T_{I,j,K}^n \right) - \frac{\tau_t}{h_y^2} (T_{I,J+1,K}^n - 2T_{I,J,K}^n + T_{I,J-1,K}^n), \\
 & T_{I,J,K}^{n+1} + \frac{\tau_t}{h_z} \left(w_{I,J,k+1} T_{I,J,k+1}^{n+1} - w_{I,J,k} T_{I,J,k}^{n+1} \right) - \frac{\tau_t}{h_z^2} (T_{I,J,K+1}^{n+1} - 2T_{I,J,K}^{n+1} + T_{I,J,K-1}^{n+1}) = \\
 & = T_{I,J,K}^{n+2/3} + \frac{\tau_t}{h_z} \left(w_{I,J,k+1} T_{I,J,k+1}^n - w_{I,J,k} T_{I,J,k}^n \right) - \frac{\tau_t}{h_z^2} (T_{I,J,K+1}^n - 2T_{I,J,K}^n + T_{I,J,K-1}^n).
 \end{aligned}$$

Так как температура вычислялась в центрах ячеек (I, J, K) , для интерполяции в точки (i, J, K) находящихся в центрах граней ячеек привлекались следующие трехточечные выражения (по направлению X):

$$\begin{aligned}
 T_{i,J,K} &= T_{I,J,K} + \frac{1}{8} (3T_{I-1,J,K} - 2T_{I,J,K} - T_{I+1,J,K}), \\
 T_{i+1,J,K} &= T_{I,J,K} + \frac{1}{8} (3T_{I+1,J,K} - 2T_{I,J,K} - T_{I-1,J,K}).
 \end{aligned}$$

Для направлений Y и Z — аналогичные представления.

На разнесенной сетке, горизонтальный разрез которой представлен на рис. 4, граничные условия прилипания вычислялись следующим образом. Пусть для вектора скорости \mathbf{V} на границе $B1-B2$ заданы условия прилипания, т. е. $u = v = w = 0$. Тогда $u_{i,1,K} = -u_{i,0,K}$ и $w_{I,1,k} = -w_{I,0,k}$. Для компоненты v вычисления на границе не производятся, а переносятся в первую ($j = 1$) точку массива, определенного в точке как $v(I, j, K)$.

Для представления условий Неймана на границе $B1-B2$ можно воспользоваться следующими выражениями. Пусть на $B1-B2$ поставлены условия $\partial u / \partial y = \partial v / \partial y = \beta$, тогда

$$\begin{aligned}
 \left. \frac{\partial u}{\partial y} \right|_{y=0} &\cong \frac{u_{i,1,K} - u_{i,0,K}}{h_y} = \beta \quad \Rightarrow \quad u_{i,1,K} = u_{i,0,K} + \beta h_y, \\
 \left. \frac{\partial v}{\partial y} \right|_{y=0} &\cong \frac{-3v_{I,1,K} + 4v_{I,2,K} - v_{I,3,K}}{2h_y} = \beta.
 \end{aligned}$$

Определение массива $v(:, :, :)$ в ФОРТРАН-процедуре выглядит так: **real, dimension (0:M, 1:N, 0:L) :: v**.

Область определения Y -компоненты скорости v :

$$\Omega_v = \begin{cases} x_I = (I - 1/2)\Delta x, & \Delta x > 0, \quad I = 0, 1, \dots, M, \quad (M - 1)\Delta x = X, \\ y_j = (j - 1)\Delta y, & \Delta y > 0, \quad j = 1, 2, \dots, N, \quad (N - 1)\Delta y = Y, \\ z_K = (K - 1/2)\Delta z, & \Delta z > 0, \quad K = 0, 1, \dots, L, \quad (L - 1)\Delta z = Z. \end{cases}$$

Массив $u(:, :, :)$, в свою очередь, определен внутренними точками и точками, лежащими на границе в направлении X , а также внутренними точками $(1 : N - 1, 1 : K - 1)$ и точками, лежащими за пределами границ в направлениях Y и Z $(0, N$ и $0, K)$.

Массив $u(i, J, K)$ в ФОРТРАН-процедуре: **real, dimension (1:M, 0:N, 0:L) :: u**.

Область определения X -компоненты скорости:

$$\Omega_u = \begin{cases} x_i = (i - 1)\Delta x, & \Delta x > 0, \quad i = 1, 2, \dots, M, \quad (M - 1)\Delta x = X, \\ y_J = (J - 1/2)\Delta y, & \Delta y > 0, \quad j = 0, 1, \dots, N, \quad (N - 1)\Delta y = Y, \\ z_K = (K - 1/2)\Delta z, & \Delta z > 0, \quad K = 0, 1, \dots, L, \quad (L - 1)\Delta z = Z. \end{cases}$$

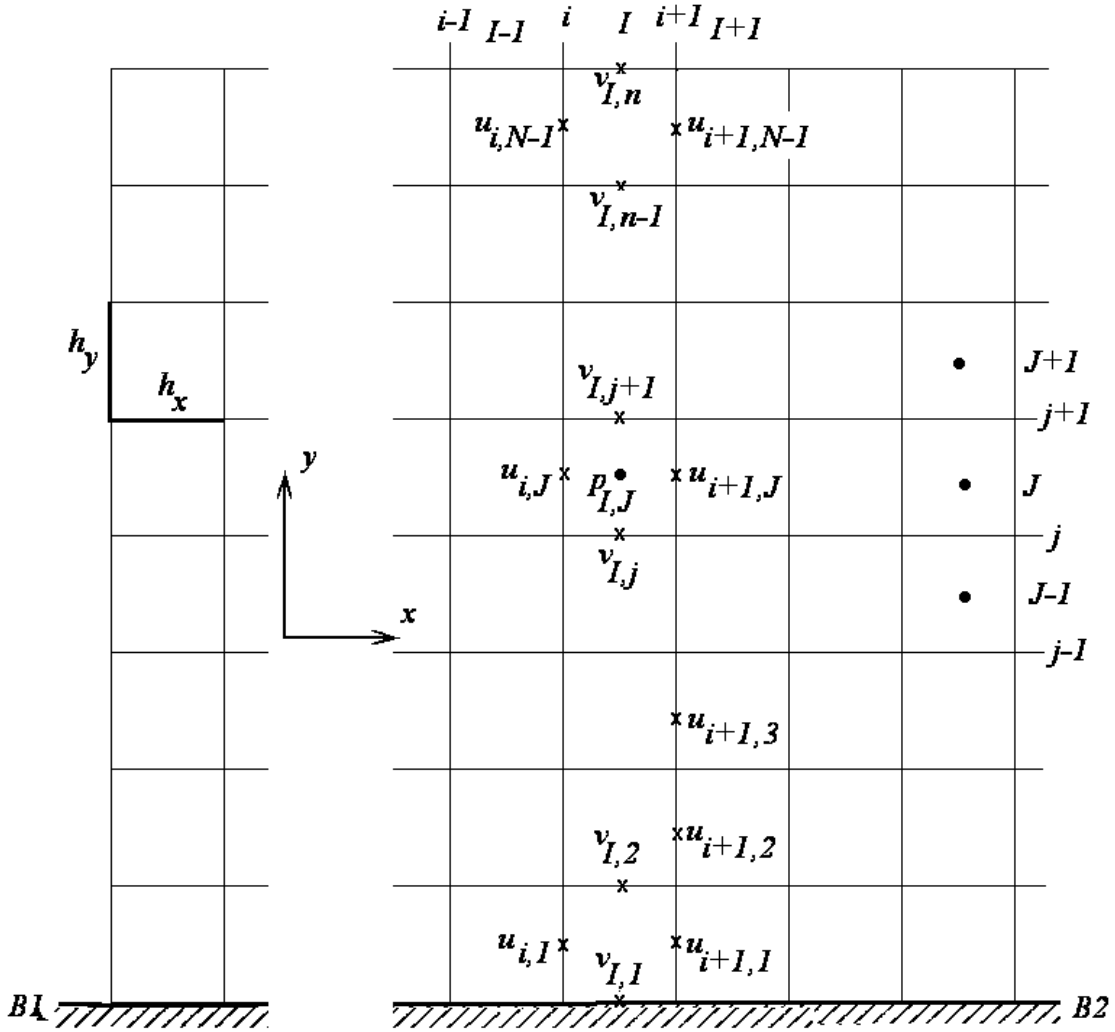


Рис. 4. Двумерная разнесенная сетка.

Массив $w(:, :, :)$ определен внутренними точками и точками, лежащими на границе в направлении Z , а также внутренними точками $(1 : M - 1, 1 : N - 1)$ и точками, лежащими за пределами границ в направлениях X и Y $(0, M$ и $0, N)$.

Массив $w(I, J, k)$ в ФОРТРАН-процедуре: **real, dimension (0:M, 0:N, 1:L) :: w.**

Область определения Z -компоненты скорости:

$$\Omega_w = \begin{cases} x_I = (I - 1/2)\Delta x, & \Delta x > 0, & I = 0, 1, \dots, M, & (M - 1)\Delta x = X, \\ y_J = (J - 1/2)\Delta y, & \Delta y > 0, & J = 0, 1, \dots, N, & (N - 1)\Delta y = Y, \\ z_k = (k - 1)\Delta z, & \Delta z > 0, & k = 1, 2, \dots, L, & (L - 1)\Delta z = Z. \end{cases}$$

Область определения температуры, давления и вязкости на разнесенной сетке Ω приведена выше.

Массивы $T(I, J, K)$, $p(I, J, K)$ и $\eta(I, J, K)$ в ФОРТРАН-процедуре могут выглядеть так: **real, dimension (0:M, 0:N, 0:L) :: Therm, Press, Eta.**

2. Результаты расчетов

2.1. Модельная трехмерная задача конвекции в мантии Земли

Тестирование численной модели осуществлялось путем решения модельной задачи [17]. Для постоянной вязкости расчеты проводились при следующих значениях параметров: длина области $X = 1.0079$, ширина $Y = 0.6283$, высота $Z = 1.000$. Масштабный множитель при вязкости $\eta_0 = 8.0198 \cdot 10^{23}$, число Рэлея $Ra = (\alpha g_z \rho d^3 \Delta T) / (\eta_0 \chi) = 3 \cdot 10^4$.

Решение для переменной вязкости отыскивалось в единичном кубе. При этом задавались следующие параметры: масштабный множитель при вязкости $\eta_0 = 1.2016510^{24}$, $\eta(T) = \exp[\theta / (T + \Theta)] - [\theta / (0.5 + \Theta)]$, $\theta = [225 / \ln(r)] - 0.25 \ln(r)$, $\Theta = 15 / \ln(r) - 0.5$; $r = \eta|_{T=0} / \eta|_{T=1} = 20$; $Ra = (\alpha g_z \rho d^3 \Delta T) / (\eta_0 \chi) = 2 \cdot 10^4$.

Для решения задачи вводилась равномерная в каждом направлении сетка. Вычислялись следующие параметры:

- среднеквадратичная скорость

$$V_{rms} = \sqrt{\left\{ \frac{1}{XYZ} \iiint_A (u^2 + v^2 + w^2) dx dy dz \right\}},$$

где A — объем параллелепипеда со сторонами X, Y и Z ;

- число Нуссельта [35]

$$Nu = -(XY)^{-1} \iint_{S_{top}} \frac{\partial T}{\partial z} dx dy,$$

где S_{top} — верхняя поверхность параллелепипеда;

— значения вертикальной компоненты скорости w и температуры T в угловых точках среднего сечения конвективного слоя;

- значения теплового потока $\vartheta = -\partial T / \partial z$ в угловых точках верхней поверхности куба;

- интегральный параметр, вычисляемый по формуле $\tau(x, z) = \int_0^Y \frac{\partial T}{\partial z} dy$ вдоль ли-

нии, параллельной оси y , начинающейся точками $(0, 0.25), (0.5, 0.25), (1, 0.25)$ фронтальной (xz) -плоскости;

- средняя температура $T_m = \iint_{S_z} T dx dy$, вычисляемая на горизонтальных сечениях

области $S_{z=0.75}$ и $S_{z=0.50}$, на глубинах $z = 0.75$ и $z = 0.5$;

- значение вертикальной компоненты вектора завихренности ω^z в точке $(0.75, 0.25, 0.75)$.

— значения z — отклонения свободной поверхности Земли от геоида в угловых точках верхней поверхности куба.

Интегралы вычислялись с применением квадратурной формулы трапеций. Размерные значения (в системе СИ), которые использованы в [17] и в настоящей работе, принимались следующими:

$$d = 2700000, \Delta T = 3700, \chi = 10^{-6}, \alpha = 10^{-5}, \rho = 3300, g_z = 10.$$

В качестве начального распределения температуры выбиралось: $T(x, y, z, t_0) = T_0(x, y, z) = (1 - z) + 0.2(\cos(\pi x / X_{max}) + \cos(\pi y / Y_{max})) \sin(\pi z)$.

Результаты расчетов автора (Che) сопоставлялись с данными Кристенсена (Chr) как наиболее полными из имеющихся в статье [17] (табл. 1 и 2). Относительная ошибка вычислялась по формуле

$$\text{Err} = \left| \frac{\text{Che} - \text{Chr}}{\text{Chr}} \right| 100 \%$$

Таблица 1. Постоянная вязкость. Разнесенная сетка. Расщепление в естественных переменных. Консервативная запись всех уравнений. Сравнение решений на двух сетках: $32 \times 32 \times 31$ и $40 \times 40 \times 39$

Параметр	Chr на сетке $32 \times 32 \times 64$	Che на сетке $32 \times 32 \times 31$	Err, %	Che на сетке $40 \times 40 \times 39$	Err, %
Nu	3.544	3.61954	2.09408	3.59152	1.33025
V_{rms}	41.00	42.0322	2.45759	41.7962	1.90679
$T(0, 0, 1/2)$	0.8013	0.804283	0.370930	0.803227	0.239961
$T(0, Y, 1/2)$	0.6188	0.615735	0.492899	0.616842	0.312575
$w(0, 0, 1/2)$	116.6	119.297	2.23934	118.474	1.56013
$w(0, Y, 1/2)$	40.50	40.2506	0.617252	40.5227	0.05840
$\tau(0, 0)$	-0.3647	-0.376761	3.19340	-0.374129	2.51234
$\tau(X/2, 0)$	-0.1292	-0.133626	3.33575	-0.133331	3.12150
$\tau(X, 0)$	-0.1104	-0.114614	3.69378	-0.114572	3.65906
$T_m(3/4)$	0.5215	0.522466	0.190724	0.522106	0.121788

Таблица 2. Переменная вязкость. Разнесенная сетка. Расщепление в естественных переменных. Консервативная запись всех уравнений

№	Параметр	Chr на сетке $32 \times 32 \times 64$	Che на сетке $40 \times 40 \times 39$	Err, %
1	Nu	3.03927	3.06762	0.923070
2	V_{rms}	35.132	35.7431	1.71517
3	$w(0, 0, 1/2)$	165.91	168.643	1.62675
4	$w(0, Y, 1/2)$	-26.72	-26.8058	0.320045
5	$w(X, Y, 1/2)$	-58.23	-59.4940	2.12457
6	$T(0, 0, 1/2)$	0.90529	0.906780	0.164324
7	$T(0, Y, 1/2)$	0.49565	0.499292	0.729343
8	$T(X, Y, 1/2)$	0.23925	0.242436	1.31425
9	$\vartheta(0, 0)$	5.83390	5.83800	0.0702432
10	$\vartheta(0, Y)$	1.71360	1.72633	0.737409
11	$\vartheta(X, Y)$	0.7684	0.773319	0.636027
12	$\tau(0, 1/4)$	-0.5059	-0.504619	0.253836
13	$\tau(X/2, 1/4)$	-0.1921	-0.196761	2.36874
14	$\tau(X, 1/4)$	-0.1388	-0.140683	1.33857
15	$T_m(3/4)$	0.56593	0.570469	0.795663
16	$T_m(1/2)$	0.58158	0.583488	0.326939
17	$z(0, 0, 1/2)$	10869.0	10577.7	2.75416
18	$z(0, Y, 1/2)$	-4145.00	-3918.71	5.77470
19	$z(X, Y, 1/2)$	-12811.0	-12345.0	3.77509
20	$\omega^z(3/4, 1/4, 3/4)$	-11.125	-10.9630	1.47801

Можно видеть, что результаты расчетов настоящей работы достаточно близки к результатам [17], что свидетельствует о высокой эффективности численной модели.

2.2. Задача протекания

Рассмотрена задача протекания верхнемантийного вещества в кубической области, размеры которой $700 \times 700 \times 700$ км. Число Рэлея, характеризующее режим конвекции, выбрано как $Ra = 2.037 \cdot 10^5$, что также отвечает современным представлениям об условиях в недрах Земли. Основные параметры задачи в системе СИ, пригодные для верхней мантии, полагаются следующими:

$$d = 700\,000 \text{ м}, \quad \Delta T = 1800 \text{ }^\circ\text{C}, \quad \chi = 10^{-6} \text{ м}^2/\text{с}, \quad \alpha = 10^{-5} \text{ }^\circ\text{C}^{-1}, \\ \rho = 3300 \text{ кг/м}^3, \quad g_z = 10 \text{ м/с}^2, \quad \eta_0 = 310^{21} \text{ кг/(м} \cdot \text{с)}.$$

Зависимость вязкости от температуры и глубины выражена формулой

$$\eta(x, y, z, t) = e^{bz - aT(x, y, z, t)}.$$

Здесь параметры $a = 3.89$ и $b = 5.84$ обеспечивают перепад вязкости от 20 до 200, что присуще верхнемантийным характеристикам течений: $r = \eta_{\max}/\eta_{\min} \cong 20 \dots 200$. Скорость на граничной плоскости YZ в точках, где $x = 0$, равнялась 2 см/год: $u|_{\text{in}} = u_0 =$

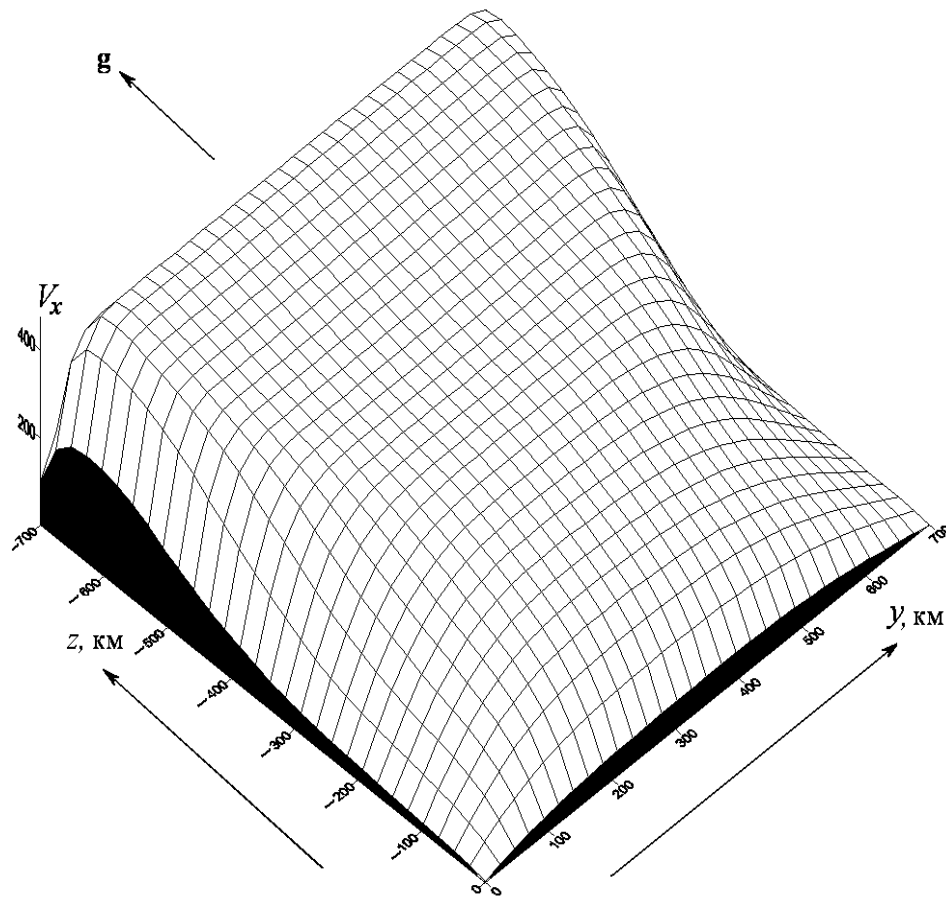


Рис. 5. Профиль скорости $u = V_x$ через плоскость yz ($x = X = 700$ км). На вертикальной оси приведены безразмерные значения скорости.

2 см/год = 312.5 безразмерных единиц; $v|_{\text{in}} = w|_{\text{in}} = 0$. На выходной границе YZ в точках, где $x = 700$ км, задавались “мягкие” условия “свободного” протекания [27, 28]:

$$\left. \frac{\partial u}{\partial x} \right|_{\text{out}} = - \left[\frac{\partial v}{\partial y} + \frac{\partial w}{\partial z} \right]_{\text{out}} ; \quad \left. \frac{\partial^2 v}{\partial x^2} \right|_{\text{out}} = \left. \frac{\partial^2 w}{\partial x^2} \right|_{\text{out}} = 0.$$

На остальных гранях для вектора скорости задавались нулевые условия прилипания. Условия по температуре (как и в задаче тестирования) в безразмерных единицах:

- на боковых границах $\partial T / \partial x = \partial T / \partial y = 0$;
- на подошве верхней мантии $T = 1$;
- на дневной поверхности $T = 0$.

Профиль горизонтальной скорости u на выходной границе через $t = 50\tau$ представлен на рис. 5.

Автор выражает благодарность профессору, д. ф.-м. н. Г.Г. Черных за помощь при постановке задачи и постоянное внимание к работе.

Список литературы

- [1] АЛЕКСЕЕВ А.С., ЛАВРЕНТЬЕВ М.М., МУХОМЕТОВ Р.Г. и др. Численный метод определения структуры верхней мантии Земли // Мат. пробл. геофизики. 1971. Вып. 2. Новосибирск: ВЦ СО АН СССР. С. 143–165.
- [2] АЛЕКСЕЕВ А.С., РЯБОЙ В.З. Модель строения верхней мантии по объемным сейсмическим волнам // Строение земной коры и верхней мантии по данным сейсмических исследований. Киев: Наук. думка, 1977. С. 67–82.
- [3] ДОБРЕЦОВ Н.Л., КИРДЯШКИН А.Г. Глубинная геодинамика. Новосибирск: НИЦ ОИГГМ СО РАН, 1994.
- [4] ДОБРЕЦОВ Н.Л. Пермско-триасовый магматизм и осадконакопление в Евразии как отражение суперплюма // Докл. РАН. 1997. Т. 354. С. 220–223.
- [5] ДОБРЕЦОВ Н.Л., КИРДЯШКИН А.Г., КИРДЯШКИН А.А. Глубинная геодинамика. 2-е изд. Новосибирск: Изд-во СО РАН, 2001. 409 с.
- [6] ТРУБИЦЫН В.П., ФРАДКОВ А.С. Конвекция под континентами и океанами // Физика Земли. 1985. № 7. С. 3–13.
- [7] ТРУБИЦЫН В.П., БОБРОВ А.М., КУБЫШКИН В.В. Влияние континентальной литосферы на структуру мантийной тепловой конвекции // Физика Земли. 1993. № 5. С. 3–11.
- [8] ТРУБИЦЫН В.П., РЫКОВ В.В., ТРУБИЦЫН А.П. Конвекция и распределение вязкости в мантии // Физика Земли. 1997. № 3. С. 3–10.
- [9] ТРУБИЦЫН В.П., РЫКОВ В.В. Механизм формирования наклонных зон субдукции // Физика Земли. 1997. № 6. С. 3–14.
- [10] ТРУБИЦЫН В.П. Основы тектоники плавающих континентов // Физика Земли. 2000. № 9. С. 3–40.
- [11] DUBUFFET F., RABINOWICZ M., MONNEREAU M. Multiple scales in mantle convection // Earth Planet. Sci. Lett. 2000. Vol. 178. P. 351–366.

- [12] RATCLIFF J.T., TACKLEY P.J., SCHUBERT G., ZEBIB A. Transitions in thermal convection with strongly variable viscosity // *Phys. Earth Planet. Intern.* 1997. Vol. 102. P. 201–212.
- [13] TACKLEY P.J. Effects of strongly variable viscosity on three-dimensional compressible convection in planetary mantles // *J. Geophys. Res.* 1996. Vol. 101. P. 3311–3332.
- [14] РЫКОВ В.В., ТРУБИЦЫН В.П. Численное моделирование трехмерной мантийной конвекции и тектоника литосферных плит // *Вычисл. сейсмология.* 1994. Вып. 26. С. 94–102.
- [15] РЫКОВ В.В., ТРУБИЦЫН В.П. Трехмерная модель мантийной конвекции с движущимися континентами // *Вычисл. сейсмология.* 1994. Вып. 27. С. 21–41.
- [16] TRUBITSYN V.P., RYKOV V.V. A 3D numerical model of the Wilson cycle // *J. Geodynam.* 1996. Vol. 20. P. 63–75.
- [17] BUSSE F.H., CHRISTENSEN U., CLEVER R. ET AL. 3D convection at infinite Prandtl number in Cartesian geometry — a benchmark comparison // *Geophys. Astrophys. Fluid Dynamics.* 1993. Vol. 75. P. 39–59.
- [18] ЧЕРВОВ В.В. Численное моделирование трехмерных задач конвекции в мантии Земли с применением завихренности и векторного потенциала // *Вычисл. технологии.* 2002. Т. 7, № 1. С. 114–125.
- [19] ЧЕРВОВ В.В. Численное моделирование трехмерных задач конвекции в мантии Земли с применением последовательности сеток. // *Вычисл. технологии.* 2002. Т. 7, № 3. С. 85–92.
- [20] ТЫЧКОВ С.А., ЧЕРВОВ В.В., ЧЕРНЫХ Г.Г. Численная модель трехмерной конвекции в верхней мантии Земли // *Selected Papers of the Intern. Conf. “Fluxes and Structures in Fluids”.* St. Petersburg, Russia, June 23–26, 2003. М.: IPM RAS, 2004. P. 238–241.
- [21] ТЫЧКОВ С.А., ЧЕРВОВ В.В., ЧЕРНЫХ Г.Г. О численном моделировании тепловой конвекции в мантии Земли // *Докл. РАН.* 2005. Т. 402, № 2. С. 248–254.
- [22] TYCHKOV S.A., CHERVOV V.V., CHERNYKH G.G. Numerical modeling of 3D convection in the Earth mantle // *Russ. J. Numer. Anal. Modelling.* 2005. Vol. 20, N 5. P. 483–500.
- [23] ТЫЧКОВ С.А., ЧЕРВОВ В.В., ЧЕРНЫХ Г.Г. Численная модель трехмерной конвекции в верхней мантии Земли // *Физика Земли.* 2005. № 5. С. 48–64.
- [24] БЕССОНОВ О.А., БРАЙЛОВСКАЯ В.А., ПОЛЕЖАЕВ В.И. Пространственные эффекты конвекции в расплавах: концентрационные неоднородности, возникновение несимметрии и колебания // *Изв. РАН. Механика жидкости и газа.* 1997. № 3. С. 74–82.
- [25] БЕЛОЦЕРКОВСКИЙ О.М. Численное моделирование в механике сплошных сред. М.: Наука, 1984.
- [26] ПЕЙРЕ Р., ТЕЙЛОР Т.Д. Вычислительные методы в задачах механики жидкости. Л.: Гидрометеиздат, 1986.
- [27] АНДЕРСОН Д., ТАННЕХИЛЛ Дж., ПЛЕТЧЕР Р. Вычислительная гидромеханика и теплообмен. В 2 т. М.: Мир, 1990.
- [28] ФЛЕТЧЕР К. Вычислительные методы в динамике жидкостей. В 2 т. М.: Мир, 1991.

- [29] VOEVOVIN A.F., GONCHAROVA O.N. Method of splitting for physical processes for computation of convection problems in closed domains // Intern. Conf. on Comp. Math. ICCM-2004. 21–25 June, 2004, Novosibirsk, Russia. Books of Proc. P. 942–947.
- [30] AZIZ K., HELLUMS J.D. Numerical solution of the three-dimensional equations of motion for laminar natural convection // Phys. Fluids. 1967. Vol. 10, N 2. P. 314–324.
- [31] HIRASAKI G.J., HELLUMS J.D. Boundary condition on the vector and scalar potential in viscous three-dimensional hydrodynamics // Quarterly of Appl. Math. 1970. July. P. 293–296.
- [32] ФЕДОРЮК М.В. Характеристики течений несжимаемой жидкости в гравитационном поле // Мат. сб. 1988. Т. 137(179), № 4(12).
- [33] ЯНЕНКО Н.Н. Метод дробных шагов решения многомерных задач математической физики. Новосибирск: Наука, 1967.
- [34] МАРЧУК Г.И. Методы вычислительной математики. М.: Наука, 1988.
- [35] BLANKENBACH B., BUSSE F. ET AL. A benchmark comparison for mantle convection codes // Geophys. J. 1989. Vol. 98. P. 23–38.
- [36] САМАРСКИЙ А.А. Теория разностных схем. М.: Наука, 1977.

Поступила в редакцию 21 февраля 2006 г.